

## 해외 연구논문 초록

### 2-16. 現用電力 System의 經濟的運轉

IEEE Committee Report: "Present Practices in the Economic Operation of Power System". [IEEE Trans. Power Apparatus System., Vol PAS-90, No. 4, July/Aug., 1970, pp.1768~1774]

Power plant의 經濟的運用에 關한 論文은 많이 報告되어 있으나, 그 論文은 高度의 理論으로一般的으로 system의 全體의 問題의 一部分에 對하여 記述되어 있다. 이 論文은 電力 system技術委員會 小委員會의

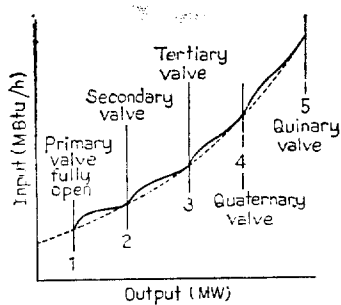


그림 1. Output (MW)

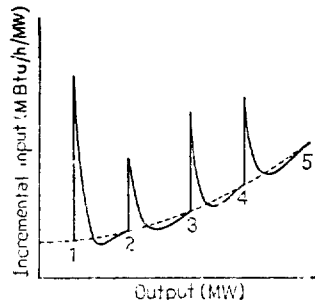


그림 2. Output (MW)

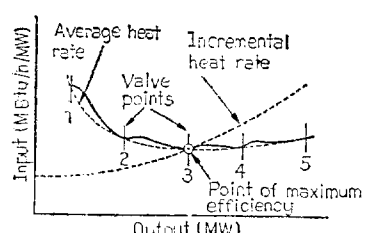


그림 3. Output (MW)

system의 經濟性에 對한 報告로, plant에 있어서의 發電 cost, 運轉 cost等의 算定法에 對하여 記述하여 있다. 한개의 發電所의 經濟的인 送電에 關한 目的是, 要求된 energy를 信賴할 수 있는 方法으로 어느 期間에 對하여 供給하여, 發電 cost를 最少로 하는 것이다. 그 期間은 數分이라는 짧은 期間부터 一年 或은 그 以上的長期間에 이르며 그 發電 system의 energy源에 依存한다. gas燃燒터빈에서는 gas의 供給契約에 依存한다. 또 原子力發電所에서는 燃料交換事情, 或은 燃料의 設計에 依存한다.

그림 1은 代表的인 火力發電所의 性能을 表示하고 있다. 入力과 出力의 曲線에 있어서의 差은, 各自의 steam valve의 効果이다.

그림 2는 入力의 增加分의 曲線이다. (그림 1에 있어서의 曲線의 傾斜部分) 그림 1의 差은 그림 2에 있어서는 날카로운 둑과 같이 顯著하다. 그림 3은 出力を 關數로 한 平均의 "heat 레이트"이다. 이 曲線으로서는 最大効率의 끝에 出力의 level가 最小值로 되어 있다. 最小heat 레이트의 點은 增加入力과 一致하고 있는 것이 그림 3으로 알수있다.

電力企業이 完全히 統一된 經濟的運用을 生覺할려면 (各電力會社의 單位 system의 group)單獨 system의 經濟的運用과 全然 同一하게 生覺되자만, 그 企業의 割當과 相互의 利益의 評價가 問題가 된다. (상낙정 위원)

### 4-6. 超電導磁石用 内部保護 Shunt의 理論的處理

D.L. Atherton; "Theoretical Treatment of Internal Shunt Protection for Superconducting Magnets". [J. Phys. E (Sci. Instrum.) Vol. 4, No. 10, Sept., 1971, pp.653~659]

本文은 高電流密度의 超電導磁石이 急冷되어 永久電流모-우타中에서 運轉하고 있을 때 最大溫度上昇을 制限하기 为하여 使用되는 内部保護 shunt와 switch의 理論을 考察하고 있다. 複合超電導體中の 通常 spots의 傳搬速度를 引導하여 그의 變動은 表 1에 表示하는 것과 같은 特別한 導體 sample에 對하여 計算하고 있다.

이 것은 最大溫度上昇을 許容值以下로 制限하기 为하기 为必要한 shunt의 最小數를 決定하기 为한 热發生,

溫度, 固有抵抗, 抵抗의 增加, 電流의 減衰, 電壓特性을 計算하기 為하여 使用하고 있다. 計算結果를 그림 1~그림 3에 表示한다. 이 結果로

(1) 大端히 큰 電力의 消散과 急速한 電流의 減少, 電氣의 過渡는 急冷이 1秒後에 實質上完了한다. 이것들은 shunt에 依하여 若干影響을 받는다.

(2) shunt는 均一한 加熱을 確保하므로서 피-크의 hot spot 溫度를 大幅으로 減할 수 있다. 高電流 密度의 coil에 有害한 hot spot를 防止하기 為하여 比較的 작은 shunt가 必要하다. (이승원위원)

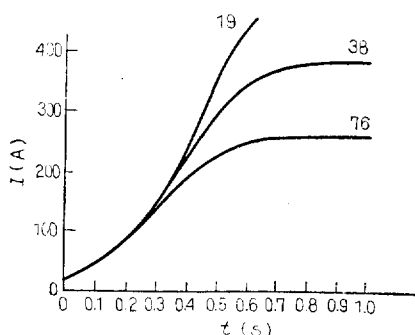


그림 1. 19, 38, 76의 shunt에 對한 時間의 關數로 한 (計算間隔은 0.01s를 使用) 最高溫度

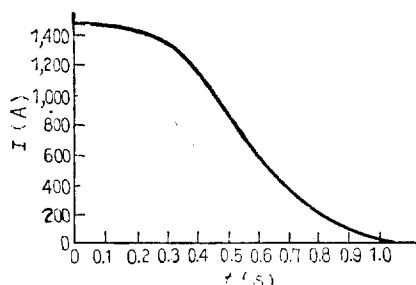


그림 2. 38의 shunt에 計算時間間隔 0.01s를 使用한 電流의 減衰

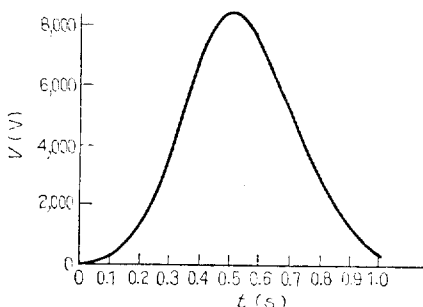


그림 3. 38의 shunt에 對한 0.01s時間間隔計算을 使用한 抵抗電壓變化

表 1. Coil Data

coil形式	구라形 coil라이플
中心磁界	6.5T
coil內徑	33cm
動作電流	1,440A
inductance	3H
導體直徑	0.2cm × 0.2cm
超電導體	니오푸치탄
臨界溫度	10K
基體	銅
基體 : 超電導體比	1.5 : 1
導體의 全長	9,000m
銅의 電流密度	6 × 10 <sup>4</sup> A/cm <sup>2</sup>

### 8-7. 誘電體共振器 Filter의 Microwave IC 에의 應用

T.D. Iveland: "Dielectric Resonator Filters for Application in Microwave Integrated Circuits". [IEEE Trans. Microwave Theory Tech. Vol. MTT-19, No. 7, July, 1971, pp.643-652]

이 論文은 microwave IC에 있어서 誘電體共振器를 使用한 帶域 filter의 設計와 그 實驗結果에 對하여 記述한 것이다. 높은 Q를 가진 共振器는 各種 filter의 設計에 有用한 것이지만, microwave IC에서는 높은 Q를 얻을수가 어려우므로 이 手法은 特히 重要한 것으로 生覺이 된다.

filter의 基本的構造는 그림 1에 表示함과 같이, 動作周波數가 遮斷周波數以下로 되기 때문에 그 크기가 選擇되어 있는 導波管의 底面에 比較的 誘電率이 낮은 基板이 設置되어 있다. 이 基板은 方形의 共振器를 支持함과 同時에, 이共振器와 結合하여 있는 마이크로스트립線路를 支持하는 基板도 되여 있다.

이와같은 構造에 있어서 共振器에 依하여 驅振되는 모ード는 LSE모ード 뿐이며, 이 모ード를 主로 用하여 共振周波數 및 共振器間의 結合係數가 計算된다. 共振器의 誘電率이 높으면 誘電體는 磁氣壁으로 둘러싸이므로 이것과 導波管의 上面과 底面에서 形成되는 境界條件으로 共振周波數가 求解된다. 또 結合係數는 同領域內의 蓄積 energy와 磁氣라이플 모멘토부터 計算된다.

共振器와 스트립線路의 結合을 強하게 하기 위하여, 스트립線路는 그림 2에 表示함과 같이 두개로 나누어지며, 一方의 線路는 他方보다 半波長만 길게 굽어져 있

다. 또 이것이 依하여 非對稱모드의 動振을 除去된다.

現在, 共振器의 誘電率의 溫度係數가 約 1,000ppm /°C로 很大이며, 周圍溫度와 取扱하는 電力의 範圍가 制限되므로 今後의 問題로서 남아있다. 그림 3에 루치루를 使用한 9GHz帶의 체비시엔形濾波 filter의 特性을 表示한다.

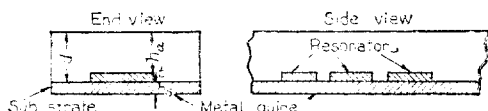


그림 1. Filter의 基本構造

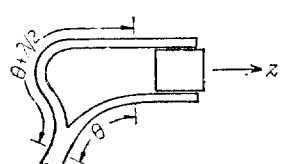


그림 2. 共振器와 스트리플線路의 結合

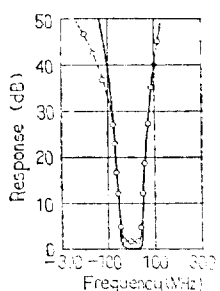


그림 3. 9 GHz filter의 特性

### 8-8. Hybrid Variable Capacitor

B.A. Maciver: "A Hybrid Voltage-Variable Capacitor". [IEEE Trans. Electron Devices, Vol. ED-18, No.7, July, 1971, pp.401~408]

MIS構造의 p-n接合을 通过하여 高電壓感度를 가지는 voltage-variable tuning capacitor를 製作하고 있다. 素子는 그림 1에 表示되어 있는 MIS構造로, 少數carrier의 吸收가 되는 小面積의 p-n接合을 만들면 MIS는 depletion type의 C-V特性이 되므로 廣範圍로 容量이 變化한다. 이 非平衡狀態의 動作解析은, 空間電荷로서 이온 化不純物과는 生鏽한 레이온式을 用으로서 簡單히 할 수 있다.

半導體表面近傍의 不純物 푸로힐은 C-V特性을決定

하는 것이므로 여기서는 AM放送밴드의 同調에 適合한 푸로힐을 求하고 있다. 電壓感度를 올리기 为하여 絶縁膜의 誘電率은 크고, 調整하는 것이 必要하다. 여기서는 n on n<sup>+</sup> epitaxial Si 위에 530Å의 SiO<sub>2</sub>를 热酸化法으로 生成시키고 있다. 그림 2는 C-V 및 Q-V特性이다. 容量變化는 14V로 15:1과 MIS만의 境遇의 5倍가된다. Q는 Si 表面準位 및 空乏層中의 準位를 用우는 케리아의 捕獲放出에 依한 損失로 制限되며 여기서는 最小值는 170이다.

pn接合面積은 大端히 작으므로 逆バイア스時의 電流는 MIS領域의 케리아發生이 支配的으로 되어豫想보다 2倍이 크다. 이것은 epitaxial layer內의 欠陷에 依한 것으로 生覺된다. 空乏層內의 케리아發生率은 一定으로 假定하면 少數 케리아마다 依存時間은 ~0.1us, 表面再結合速度는 ~500cm/s이다.

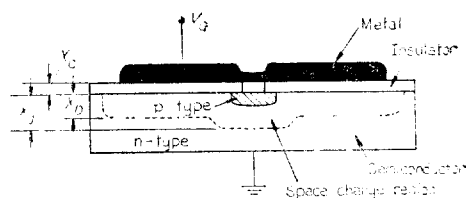


그림 1

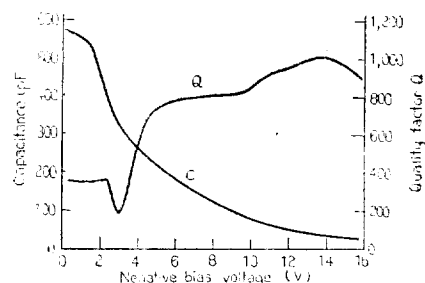


그림 2

### 8-9. CdSe Point Contact Diode의 有極性 Memory

M. Kikuchi, et al.: "Polarized (Letter 8) Memory in CdSe Point Contact Diodes". [Solid State Commun., Vol. 9, No 10, May, 1971, pp.705~707]

有極性 memory는 이미, 各種薄膜에 있어서 볼 수 있으나, 本論文은 바르크 CdSe에 point contact를 取付함으로서 같은 現象을 볼 수 있다는 것을 報告하

였다.

diode는 그림 1과 같이 만들어졌다. point contact로서는 Cu, AG, Au 등이 사용되었다.

代表의인 有極性 memory 特性을 가진 diode의 電壓電流特性을 그림 2에 表示한다. 이 特性은

(1) point contact의 金屬의 種類

(2) 測定回路의 current리ട타의 抵抗

(3) point contact의 曲率

等에 依存한다.

方形 pulse를 diode의 兩端에 加하여 過渡現象을 觀察하였다. off→on(第3象限)에서는  $T_d$ (delay time),  $T_s$ (switching time),의 세 가지 部分으로 된다.一方 on→off(第1象圖)에서는  $T_d$ 와  $T_s$ 의 두 개만으로 되며  $T_w$ 는 없다.

그리나 이 景遇 on→off switching時間  $T_d+T_s$ 는 diode의 過去의 狀態에 依存한다. 即 on狀態에 높은 電壓으로 길게 保持하면 할수록( $T_d+T_s$ )는 길게된다. 以上의 現象은 CdS, CdTe, GaAs, Gap單結晶에서도 보았다.

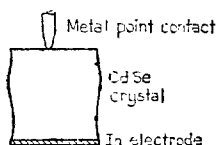


그림 1

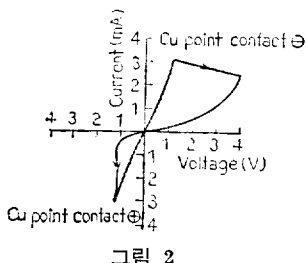


그림 2

### 8-10. Cu-CdS 모주一루에 있어서의 光電効果

A.E. Van Aerchocht, et. al.: "The Photovoltaic Effect in the Cu-CdS System". [IEEE Trans, Electron Devices, Vol. ED-18, No. 8, Aug., 1971, pp.471~482]

Cu-CdS 光電세루의 動作을 說明하려면 적어도 7개의 다른 model로 區分된다. 이것들의 model은 實驗이 母體가 되여 있다. 이것들의 세루에 對한 모든 現象은 充分히 說明되어 있지 않다. 이 論文의 Cu-CdS에 對

한 觀察 model은 세로운 것은 아니지만, 차라리 現在 있는 model의 缺點을 修正하여 그것들을 正確한 model로 하기 위한 考察이 記述되어 있다. Cu-CdS 세루에 있어서의 Cu-S의 混合物의 性質이 對하여 生覺하고자. 앞에 記述한 7개의 model에는 5개의 假定이 基本이 되여 있으며 세루는 Cu-S의 複合體와 n形 CdS의 基盤과 境界領域으로 되어 있다. 그림 1은 金屬과 半導體의 energy band model로 銅과 硫化가도미움에 對하여 表示하고 있다. 빛에 의하여 励起된 Cu中の 電子가 CdS에 移轉하는 양상이 그려져 있다.

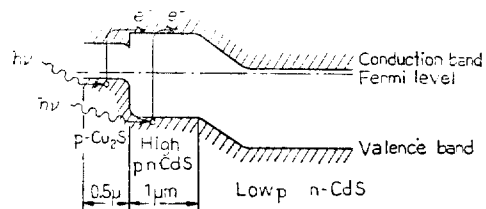


그림 1. 위리암부一卑의 energy band model

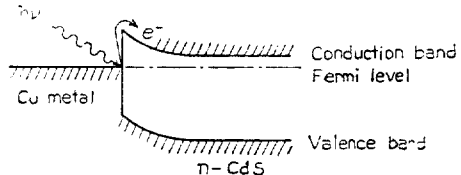


그림 2. Shiozawa(Clevite)energy band model

빛의 波長이 길 景遇는 Cu<sub>2</sub>S와 n形의 CdS障壁에 依存하여 電子는 脱落한다.

Cu<sub>2</sub>S의 active한 役割을 表示한 것이 그림 2의 clevite model이다. 이 model은 Cu<sub>2</sub>S는 脱落하지 않고, 또 Ge 나 Si에 類似하여, 脱落한 物質의 케리아의 擴散距離는 數千옹스트롬 以下로 Cu-CdS세루의 長短에 擴散하기 為한 케리아에 對하여 必要하다. 各種의 model에 對한 實驗에서 Cu-CdS세루의 光電効果가 說明되어 있지 만, 그것들의 model을 分離하기 위하여 基本의 假定이 作成되었다. Shiozawa(Clevite) model은 完全한 實驗을 하기 為하여 選擇되었다. 그것은 基本假定의 두 개의 部分, 即 Cu의 領域의 前面에서 擴散距離  $L$ 과 結合의 深度  $I$ 의 比가 적은 것과, 暗部부터 照明했을 때의 i-V 特性이 CuxSy相에 隣接하는 Cu를 바른 CdS의 光抵抗에 彙한다는 것이 實驗的으로 調査하기 erta는 點이다. (편집실)

### 8-11. 高分解能을 가진 無線電送系를 위한 最適信號

S.M. Gilbert and J.S. Thorp: "Optimum

Signals for High-Resolution Radio Transmission Systems" [IEEE Trans., AES-5, 5, pp.820~827, Sept. 1969]

Radar System 等高分解能이 要求되는 通信 system에 있어서, 從來는 信號處理技術의 研究가 重點의 으로 行하여져, 信號波形의 研究는 별로 하이지고 있지 않다.

本文은 그림 1에 表示함과 같이 N個의 信號를 使用하는 通信系를 위한 最適의 信號波形을 求한 것이다. N個의 block은 各信號를 잡아내기 위한 filter이며, 이기서는 各信號에 對하여 各自가 매치드필터로 되어 있다고 生覺한다. 이境遇各 filter의 出力波形은 入力波形이 當該信號의 境遇에는 그 信號의 自己相關波形이 되며, 非當該信號의 境遇에는 兩者의 信號間의 相互相關波形이 된다. 따라서, 問題는 銳利한 피-크를 가진 自己相關波形外 充分히 낮은 level의 그리고 平坦한 相互相關波形을 주는 N個의 信號群을 決定하는 일이다.

우선 銳利한 피-크를 自己相關波形에 갖게 하기 위하여 다음의 性能指數를 定義한다.

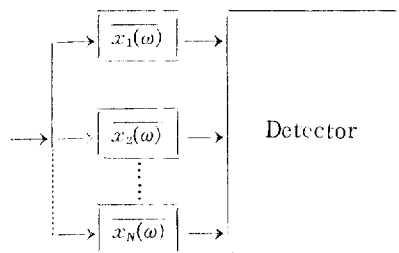


그림 1

$$J = \int_{-\infty}^{\infty} F(t) |R_{jj}(t)| dt \quad (1)$$

$t$ :時間,  $F(t):t=0$ 은 強調하는 单一関數.

$R_{jj}(t)$ :第j番目の 信號의 自己相關波形.

$F(t)$ 로 하여 가령

$$F(t) = \frac{1}{1+t^4} \quad (2)$$

等을 生覺할수 있다.  $R_{jj}(t)$ 의 spectral密度를  $S_{jj}(\omega)$ 로 하여 energy가 一定한 條件,

$$\frac{1}{2\pi} \int_{-\infty}^{\infty} S_{jj}(\omega_1) d\omega_1 = E \quad (3)$$

를 滿足시켜  $J$ 를 最大로 하는 解答은 Wiener-Hopf의 方程式의 最大의 固有值을 가지는 固有関數이다.

$$\mu S_{jj}(\omega_1) = \int_{-\infty}^{\infty} f(\omega_1 - \omega_2) S_{jj}(\omega_2) d\omega_2 \quad (4)$$

$f(\omega)$ 는  $F(t)$ 의 후一列에 變換이다. 式(4)에서  $S_{jj}(\omega)$ 가 연이치면, 信號의 振幅  $U_m(\omega)$ 는 다음과 關係된다.

決定된다.

$$S_{jj}(\omega) = U_m^2(\omega) \quad (6)$$

다음에, 相互相關波形  $R_{ij}(t)$ 를 작은 平坦한 것으로 할려면, 信號 spectal의 位相項이 未定인 데에 着目하니,  $R_{ij}(t)$ 의 후一列에 變換  $S_{ij}(\omega)$ 를

$$S_{ij}(\omega) = U_m^2(\omega) \exp[j(\phi_j(\omega) - \phi_i(\omega))] \quad (7)$$

에서 주어지는  $\phi_j(\omega)$ 를 最適화하면 된다.

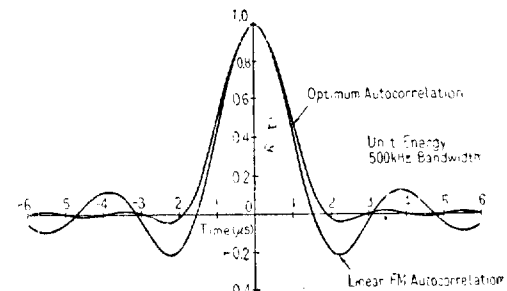


그림 2

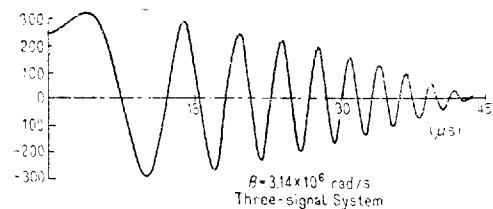


그림 3

例을 들어, 式(2)의 무게 關數를 使用하여,  $N=3$ 의 境遇의 計算結果를 그림 2, 3에 表示한다.

## 8-12. 2素子構成 Mode Filter에 依한 Nd: YAG Laser의 單位周波數動作

W. Culshaw and J. Kanneland: "Two-Component-Mode Filters for Optimum Single-Frequency Operation of Nd: YAG Lasers" [IEEE J., QE-7, 8, pp.381~387, Aug. 1971]

從來 Nd:YAG Laser의 單位周波數發振을 얻는 方法으로는,

(i) 共振器內에 傾斜시킨 Fabry-Perot에 대론을 插入하는 方法.

(ii) 吸收性的 니크롬薄膜<sup>2</sup>共振器內에 插入하는 方法等이 行하여지고 있다. 그러나 이 方法으로서는 高出力を 얻기 어렵다. 本論文에서는 이 欠點을 (i) 및 (ii)의 方法을 組合한 素子構成의 mode filter로 克服하고 있다. 이기서는 다음의 세 가지의 mode selector에 對하여 考察하고 있다.

(a) 二重構造金屬薄膜에 의한 mode selector

그림 1에 表示된 것과 같은 3~5mm幅의 結晶基板에 25~50Å의 Ni-Cr film을 蒸着하여 反射鏡부터 3~5cm의 位置에 配置한다. 이 긴 距離에 依하여 film의 impedance의 銳利한 變化를 가져오게 할 수 있다. 또 二重構造 Ni-Cr 薄膜에 다른은 充分히 透過率을 減少시킬 수가 있으므로, mirror와 film間의 共振 mode를 抑壓할 수 있다. 더우기 電界의 節에 兩方의 film이 오개 하도록 配置할 必要가 있다.

그림 2에 計算에서 얻어진 共振周波數부터의 周波數  
變倚에 對한 出力反射係數를 表示한다.

(b) 多重構造反射膜에 의한 mode selecter

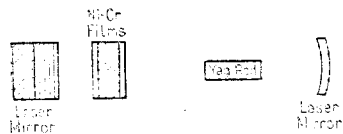


그림 1. 二重金屬膜에 依한 mode selecter構成圖

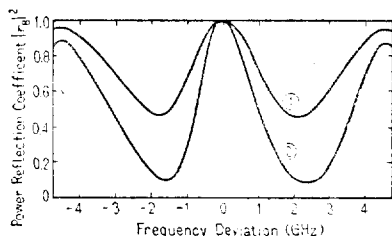


그림 2. 出力反射係數

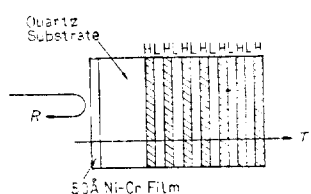


그림 3. 多重構造反射譜에 따른 構成圖

그림 3에 表示함과 같이 金屬薄膜을 片面에 蒸着하여, 片面을 多層의 多層部分에서 反射板을 形成하는 것이다. 그림 4에 計算으로 얻은 反射係數를 表示한다. 多層膜의 數를 變化시켜서 出力의 結合을 control한다. Ni-Cr薄膜의 두께가 100Å의 境遇에 中에서의 出力損失은 0.1%이 된다.

(c) 傾斜시킨 fabry-perot에 따른 차 金屬膜의 依한 mode selector.

그림 5의 表示과 같이 金屬薄膜과 多層의 1/4波長板을 가진 反射板과 傾斜시킨 fabry-perot에 다른으로 mode selector를 構成한다.

金属薄膜付 fabry-perot에 다른으로는 充分히 反射

係數를 높이면 插入損이 增大하여 에너지의 두께를 增大시키면, 투과率은 减少한다. 그림 5에 表示한 配置에서는 이것들의 欠點을 除去할 수 있다. 希望하는 mode를 fabry-perot에 다른으로 選擇하여, 反射板을 일고자 하는 周波數에 쿤팅하여 다른 mode는 消去하고 있다.

實驗은 여러種類의 mode selector로 行하여 겼지만  
 (c)의 方法이 安定하며, 共振器長 39.5cm傾斜에 다른  
 의 두께 11mm로 200mW의 單一周波數發振을 얻고  
 있다.

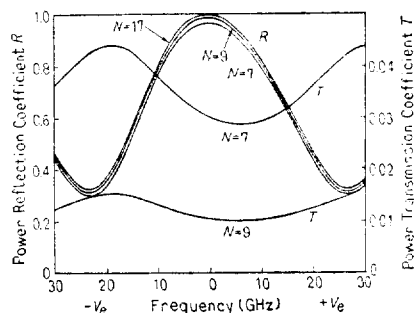


그림 4. 出力反射係數

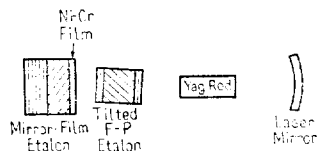


그림 5. 複合形 mode selector 構成圖

### 8-13. 誘電體裝荷 Horn에 있어서의 開口能率上昇

G.N. Trandoulas and W.D. Fitzgerald:  
 "Aperture Efficiency Enhancement in Dielectrically Loaded Horns" [IEEE Trans., Ap-20, 1, pp. 69~74, Jan. 1972]

本論文은 方形宮波管부터의 電磁波의 放射에 關한 것이다. 開口面上에 誘電體를 裝荷함으로서 開口面上의 電磁界分布를 同一하게 하여 開口能率을 大略 100% 가까이 까지 上昇시키고 있다. (誘電體裝荷를 하지 않는 horn의 基本  $TE_{10}$ 波에 對한 開口能率은 約 81%이다. 여태까지 誘電體裝荷 horn에 對한 試圖로서, E 및 H의 2主面의 放射과 단을 같이 하는 것과 位相調整用으로 使用하는 것 等이 行하여져 왔지만, 本文의 主要點은 對稱裝荷에 依하여 開口能率의 上昇 및 放射과 단의 成形

을體系的으로 行하여 こた는 것이다.

放射파단 및 利得을 計算하기 為하여서는, 開口面上의 電磁界分布를 決定하는 것이 必要하다. 開口面上의 電磁界分布는, 波動方程式 및 誘電體와 空氣와의 接續面에서의 境界條件으로 求할 수가 있다. 誘電體裝荷 horn의 開口面을 그림 1에, 開口能率計算值의 一例를 그림 2에 表示한다. 또 實驗用 horn의 一例를 그림 3에, 그 放射파단의 一例를 그림 4에 表示한다.

이하한 圖面에 依하여 誘電體質 및 치수가 選定되므로 해서, 開口能率의 上昇, 비입幅의 減少等을 容易하게 行할 수가 있다. 또 帶域特性도 大端히 良好하다는 것이 實驗의으로 表示되어 있다.

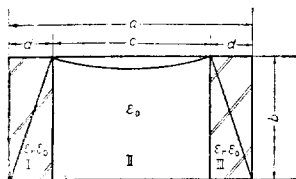


그림 1. 誘電體裝荷 horn

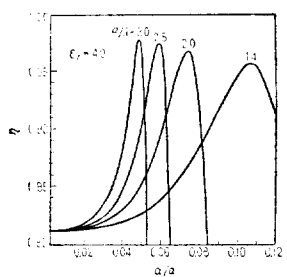


그림 2. 誘電體插入比와 開口能率

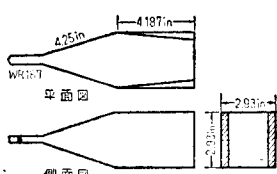


그림 3. 實驗 horn의 一例

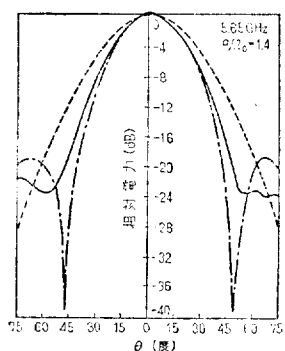


그림 4. 實驗 horn에 依한 遠方 H面 파단

## 9-5. 電氣計器—計算機 Interface

R.D. Francis : The Electrical-Instrument-Computer Interface. [IEEE Trans., Industr. Gen. Applic. Vol. IGA-7, No.1, Jan, 1971, pp.144~167]

電子計算機을 프로세스에導入할 時遇의 計測과 制御의 方法 및 計算機와 프로세스와의 interface機器에對하여, 製紙미루의 例를 中心으로 하여, 現在 使用되고 있는 技術을 詳細히 解說하여, 땅은 問題點에 对하여 多角的으로 檢討를 加하고 있다.

우선 製紙미루의 プロセス變數로, 計算機의 아날로그 入力이 되는 壓力, 压強, 温度, 密度, 溫度, 電力, speed, 位置, 重量, 粘度, 粘滞, 測度 및 치고의 温度等에 關する 代表的인 變換器의 例를 例에對하여 測定機構, 特徵, 計裝上의 留意的, 精度等의 問題에 对하여 解說하고 있다.

그리고 또 아날로그 入力徑路를 變換器, 信號調整器, 마루치푸리 및 增幅器의 各要素로 나누어 變換器出力의 MV와 V와의 相違에 依한 信號의 傳送方法의 相違, 信號源과 增幅器의 임피던스整合, 마루치푸리와 고모모—도노이주, 아날로그월터와 디지털월터等의 各要素의 電氣特性과 그 接續에 起因하는 問題點에 对하여 言及하고 있다.

또 計算機出力의 몇개의 例를 들어, 이것들의 出力과 プロセス와의 interface機器인 制御器에 对하여, 計算機制御를 위하여 考慮가 加해진 制御器의 解說과 더불어, 計算機와의 關連에 있어서 制御器의 cost에 对한思考方法을 記述하고 있다.

그리고 計算機에 障害가 發生했을 時遇에 이 것에 對하여 빠른用의 計算機를 用하는 것은 現在 그 正當性이 認定되지 않으면서도 逆으로 製紙미루의 熟練된 技術者の 大部分은 機能面에 有り서도, 또 cost面에 有り서도 아날로그 制御器에 依한 빠른 恒久的인 것은 아니라고 生懶하고 있어서, 將來의 方向을 가리키고 있다. 그리고 計算機運轉부터 手動或은 自動運轉으로, 或은 이의 遊의 切換時の 制御出力의 單一方法에 对하여 C/M (Computer Manual) 또는 C/M/A (Computer/Manual/Automatic)라고 稱하는 아날로그 制御器를 行하여져 있는 두가지의 手法을 紹介함과 아울러 system設計上 注意해야 할 點을 詳細히 解說하고 있다.

끝으로 고모모—도 및 노—마루모—도의 雜音對策으로, system의 總合의 見地에서 아—스의 取付方法, 信號線 및 電源 cable의 配線과 시—부트方法, 使用할 cable의 種類 system電源에 對한 要求等에 言及되고 있다.